

## Глава 15

### Программная реализация автоматов в базисе языков ассемблер

Рассмотрим вопрос о программной реализации автоматов в базисе языков ассемблер на примере такого языка для микроконтроллера «Intel 8051» [136]. Особенность системы команд этого контроллера состоит в наличии команд работы с битами одного слова. При этом если для арифметических и логических команд, работающих с регистровыми переменными, один из операндов и результат должны находиться в аккумуляторе, то для битовых команд работа происходит через бит переноса *C*.

Рассматривается также эффективный метод реализации булевых формул на языке ассемблер микропроцессоров, в системе команд которых отсутствуют операции для работы с битами.

#### 15.1. Реализация автоматов без памяти

##### 15.1.1. Программирование ГСА

В качестве примера рассмотрим вопрос о программной реализации алгоритма сигнализации, заданного в табл. 14.1.

Построим, используя канонический метод Блоха [18], граф-схему алгоритма (рис. 14.1). Оптимизируем число вершин в ней за счет выноса «вверх» операторной вершины  $z = 0$  (рис. 14.2). В силу того что в рассматриваемом языке условные переходы являются одноадресными, линеаризуем полученную граф-схему (рис. 14.3). Так как в системе команд отсутствует команда ввода инверсного значения входной переменной, изменим на противоположные все пометки первой условной вершины в построенной ГСА. Откорректированная граф-схема может быть реализована программой на языке ассемблер следующим образом:

```
M3: CLR      z ; сброс переменной z
      MOV C,  p ; пересылка переменной p в бит переноса C
      JC      M1 ; переход, если бит переноса единица
      MOV C,  x
      JNC     M1 ; переход, если бит переноса ноль
      SETB   z ; установка переменной z
```

```

M1:  MOV C, p
      JNC  M2
      MOV C, g
      JNC  M2
      SETB z .
M2:  SJMP  M3; короткий безусловный переход

```

Сложность программы 12;0.

Ниже приводятся еще четыре программы, реализующие этот же алгоритм:

```

M3: CLR  z      M3: MOV C, p      M1: MOV C, x      M4: MOV C, p
      MOV C, x      JC      M1      ANL C, /p      JC      M1
      ANL C, /p      MOV C, x      MOV y, C      MOV C, x
      JNC  M1      MOV z, C      MOV C, p      JC      M2
      SETB z      M1: MOV C, p      ANL C, g      M1: MOV C, p
M1: MOV C, p      JNC  M2      ORL C, y      JNC  M3
      ANL C, g      MOV C, g      MOV z, C      MOV C, g
      JNC  M2      MOV z, C      SJMP  M1      JNC  M3
      SETB z      SJMP  M3
M2: SJMP  M3
                                     M2: SETB  z
                                     SJMP  M4
                                     M3: CLR   z
                                     SJMP  M4

```

Сложность программ: 10;0, 9;0, 8;1, 12;0 соответственно.

В этих программах применяются новые команды:

ORL C, y — дизъюнкция бита переноса и внутренней битовой переменной с записью результата в бит переноса;

ANL C, /p — конъюнкция бита переноса и инверсии входной битовой переменной с записью результата в бит переноса;

ANL C, p — конъюнкция бита переноса и входной битовой переменной с записью результата в бит переноса.

Первая из этих программ отличается от предыдущей тем, что в ней последовательное соединение условных вершин заменено конъюнкцией (рис. 14.4).

Вторая программа построена по более компактной ГСА (рис. 14.6), в которой вместо присваивания констант выполняется присваивание переменных.

В этих программах, построенных по линеаризованным граф-схемам, порядок расположения фрагментов может быть произвольным, так как в исходной ГСА пути ортогональны. Число фрагментов в программе равно числу путей в исходной ГСА, содержащих операторные вершины.

### 15.1.2. Построение операторных программ

Третья программа реализована непосредственно по булевой формуле  $z = \bar{p} \& x \vee p \& g$ , используя выходную ячейку для запоминания промежуточных результатов. Программы этого класса называются операторными, так как в них используются логические битовые операции и не применяются условные переходы. Поэтому все команды в таких программах вне зависимости от входных наборов всегда выполняются последовательно, и в общем случае в них используются дополнительные ячейки памяти для

запоминания промежуточных результатов. Это приводит к увеличению числа команд по сравнению со случаем, когда запоминания не требуется. Без запоминания реализуются неповторные пороговые формулы (БПФ) при их записи в порядке возрастания весов переменных. При этом число команд в программе, реализующей БПФ, которая содержит  $h$  букв в правой части, минимально и равно  $h + 2$ .

Верхняя оценка числа команд, равная  $3h - 2$ , для положительно монотонных неповторных пороговых формул с максимальными весами и порогом достигается при их записи в порядке возрастания весов. Таким образом, для положительно монотонных неповторных пороговых формул

$$h + 2 \leq K_0 \leq 3h - 2.$$

Приведем в качестве примера две программы, реализующие однотипные булевы формулы

$$z = (x_3 \& x_4 \vee x_2) \& x_1, \quad z = x_1 \& (x_2 \vee x_3 \& x_4),$$

на которых достигаются приведенные оценки:

|               |               |
|---------------|---------------|
| M1: MOV C, x3 | M1: MOV C, x1 |
| ANL C, x4     | MOV z, C      |
| ORL C, x2     | MOV C, x2     |
| ANL C, x1     | MOV y, C      |
| MOV z, C      | MOV C, x3     |
| SJMP M1       | ANL C, x4     |
|               | ORL C, y      |
|               | ANL C, z      |
|               | MOV z, C      |
|               | SJMP M1       |

В первой программе применяется команда типа ORL C, x — дизъюнкция бита переноса и входной битовой переменной с записью результата в бит переноса.

Сложность программ 6;0, 10;1 соответственно.

Первая программа реализуется по нижней оценке. Из рассмотрения второй программы следует, что она сначала с помощью  $2(h - 2)$  команд вводит в память слева направо  $h - 2$  буквы формулы, а затем реализует формулу (с учетом запомненных букв) в обратном порядке, используя минимальное число команд.

Для отрицательно монотонных БПФ оценка числа команд имеет вид

$$h + 3 \leq K_0 \leq 4h - 3.$$

Увеличение верхней оценки связано с необходимостью применения еще  $h - 1$  команд, осуществляющих инверсии переменных. Ниже в качестве примера приведены две программы, реализующие однотипные отрицательно монотонные БПФ,

$$z = (\bar{x}_3 \& \bar{x}_4 \vee \bar{x}_2) \& \bar{x}_1, \quad \text{и} \quad z = \bar{x}_1 \& (\bar{x}_2 \vee \bar{x}_3 \& \bar{x}_4),$$

а третья программа построена по последней формуле, преобразованной с помощью правила де Моргана,

$$z = \overline{x_1 \vee x_2 \& (x_3 \vee x_4)}$$

и требует  $3h - 1$  команд:

|         |    |         |      |         |     |      |    |    |
|---------|----|---------|------|---------|-----|------|----|----|
| M1: CPL | x3 | M1: CPL | x1;  | M1: MOV | C,  | x1   |    |    |
| MOV     | C, | x3      | MOV  | C,      | x1  | MOV  | z, | C  |
| ANL     | C, | /x4     | MOV  | z,      | C   | MOV  | C, | x2 |
| ORL     | C, | /x2     | CPL  | x2      | MOV | y,   | C  |    |
| ANL     | C, | /x1     | MOV  | C,      | x2  | MOV  | C, | x3 |
| MOV     | z, | C       | MOV  | y,      | C   | ORL  | C, | x4 |
| SJMP    | M1 |         | CPL  | x3      | ANL | C,   | y  |    |
|         |    |         | MOV  | C,      | x3  | ORL  | C, | z  |
|         |    |         | ANL  | C,      | /x4 | CPL  | C  |    |
|         |    |         | ORL  | C,      | y   | MOV  | z, | C  |
|         |    |         | ANL  | C,      | z   | SJMP | M1 |    |
|         |    |         | MOV  | z,      | C   |      |    |    |
|         |    |         | SJMP | M1      |     |      |    |    |

В этих программах используются следующие новые команды:

ORL C, /xi — дизъюнкция бита переноса и инверсии входной битовой переменной с записью результата в бит переноса;

CPL xi — инверсия бита xi;

CPL C — инверсия переноса.

Сложность программ 7;0, 13; 1, 11; 1 соответственно.

Из изложенного следует, что не существуют неповторные пороговые формулы, которые для своей реализации требуют числа команд большего чем  $4/h - 3$ . Таким образом, для БПФ без оптимизации порядка записи справедливо соотношение

$$h + 2 \leq K_0 \leq 4h - 3, \quad (15.1)$$

а для БПФ с оптимизацией

$$h + 2 \leq K_0 \leq h + 3.$$

При этом отметим, что число команд в первой из трех последних программ равно  $h + 3$ .

Перейдем к рассмотрению класса неповторных непороговых формул. Так как самые простые формулы этого класса реализуются сложнее простейших БПФ, а самые сложные формулы этого класса реализуются проще, чем самые сложные БПФ, то и для этого класса формул без оптимизации порядка их записи справедливо соотношение (15.1).

Наиболее сложными формулами с учетом оптимизации порядка их записи являются так называемые инвариантные булевы формулы, для которых число команд в программе не изменяется от порядка записи формул. К этому классу относятся, например, формулы

$$z = (x_3 \vee x_4) \& (x_5 \vee x_6) \vee x_1 \& x_2 \quad \text{и} \quad z = x_1 \& x_2 \vee (x_3 \vee x_4) \& (x_5 \vee x_6).$$

Ниже приведены две программы на языке ассемблер, реализующие эти формулы, а кроме того, третья программа на языке инструкций ALPro, реализующая последнюю формулу:

|               |               |          |
|---------------|---------------|----------|
| M1: MOV C, x3 | M1: MOV C, x1 | STR I x1 |
| ORL C, x4     | ANL C, x2     | AND I x2 |
| MOV z, C      | MOV z, C      | EQ O z   |
| MOV C, x5     | MOV C, x3     | STR I x3 |
| ORL C, x6     | ORL C, x4     | OR I x4  |
| ANL C, z      | MOV y, C      | EQ M y   |
| MOV z, C      | MOV C, x5     | STR I x5 |
| MOV C, x1     | ORL C, x6     | OR I x6  |
| ANL C, x2     | ANL C, y      | AND M y  |
| ORL C, z      | ORL C, z      | OR O z   |
| MOV z, C      | MOV z, C      | EQ O z   |
| SJMP M1       | SJMP M1       | STOP     |

Сложность программ 12;0, 12;1, 12;1 соответственно.

Число команд, требующихся для реализации положительно монотонных формул этого класса, равно  $2h$ . При этом число команд типа MOV C, xi равно  $h/2$ , число команд типа MOV p, C —  $h/2$ , число команд типа ANL и ORL —  $h - 1$ , число безусловных переходов — 1.

Таким образом, для положительно монотонных непороговых формул с оптимизацией порядка их записи

$$h + 2 \leq K_0 \leq 2h.$$

Так как положительно монотонные инвариантные непороговые формулы являются наиболее сложными из всех положительно монотонных непороговых формул с учетом оптимизации последних, то, увеличивая величину  $2h$  на  $h - 1$  (максимально возможное число инверсий), получим  $3h - 1$  — верхнюю оценку сложности для класса непороговых формул, которая, однако, является завышенной.

Объединяя полученные результаты, можно утверждать, что для положительно монотонных булевых формул в базисе И, ИЛИ с оптимизацией

$$h + 2 \leq K_0 \leq 2h,$$

без оптимизации —

$$h + 2 \leq K_0 \leq 3h - 2;$$

для класса всех булевых формул в базисе И, ИЛИ, НЕ с оптимизацией

$$h + 2 \leq K_0 \leq 3h - 1,$$

без оптимизации —

$$h + 2 \leq K_0 \leq 4h - 3.$$

Из рассмотрения класса инвариантных формул следует, что порядок их записи не влияет на число команд, но определяет число ячеек промежуточной памяти. Из приведенных примеров следует, что при реализации формул промежуточные ячейки памяти совместно с выходной ячейкой могут быть объединены в стек, в котором переменная, записанная последней, обрабатывается первой. При этом необходимое число ячеек удовлетворяет неравенству

$$0 \leq Я \leq [\log_2 h] - 2.$$

Из этого соотношения следует, что для формул из семи и менее букв всегда может быть выбран такой порядок их записи, при котором дополнительные ячейки не требуются. Порядок записи формулы для оптимизации числа команд и ячеек определяется в результате разбиения построенной по формуле схемы максимальной глубины из двухходовых элементов на минимально связанные между собой линейные каскады. Это соответствует замене булевой формулы системой таких формул, в которой новые переменные не используются.

В заключение отметим, что результаты, полученные в настоящем разделе для положительно монотонных формул, могут применяться также для оценки сложности операторных программ, построенных на языке инструкций ALPro. Это объясняется тем, что в последнем случае командой STR может быть введена не только переменная, но и ее инверсия, и поэтому все однотипные формулы вне зависимости от расстановки и числа инверсий в них реализуются одинаковым числом команд.

В заключение раздела отметим, что если для работы с битами команда XRL («Неравнозначность») в рассматриваемом ассемблере отсутствует, то для работы с байтами она может использоваться, что позволяет в этом случае реализовать операторными программами произвольные формулы в базисе И, ИЛИ, НЕ, НЕРАВНОЗНАЧНОСТЬ.

### 15.1.3. Построение бинарных программ

Четвертая из программ, реализующих алгоритм сигнализации (разд. 15.1.1), относится к классу бинарных, так как при этом не применяются команды логических операций, а вместо них используются условные переходы [68]. Граф-схемы этих программ строятся непосредственно по формуле. Их сложность (но не быстродействие) не зависит от порядка записи формул и числа инверсий в них.

При этом число вершин в линейной неструктурированной планарной граф-схеме [88, 271], реализующей произвольную (в том числе любую скобочную) формулу в базисе И, ИЛИ, НЕ из  $h$  букв, определяется соотношением

$$B = h + 2.$$

Эта граф-схема содержит  $h$  условных вершин, расположенных последовательно, и две операторные:  $z = 1$  и  $z = 0$ . Метод построения таких граф-схем, названный в [68] формульным методом, изложен в [88, 271]. На рис. 15.1 приведена граф-схема для булевой формулы  $z = \bar{p} \& x \vee p \& g$ , реализованной формульным методом.

При изоморфном переходе от граф-схемы к бинарной программе число команд в ней удовлетворяет соотношению

$$K_b = 2(h + 2).$$

Эта оценка может быть уменьшена до  $2/h + 3$  при написании программы по граф-схеме, в которой вынесена «вверх» вершина  $z = 0$ .

Комбинируя оценки, полученные для операторных и бинарных программ, можно утверждать, что для микроконтроллера «Intel 8051» слож-

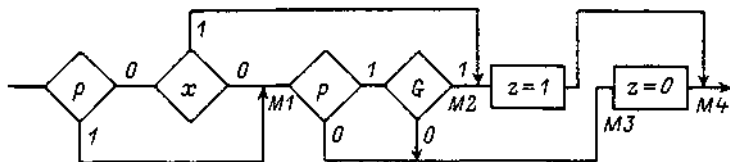


Рис. 15.1

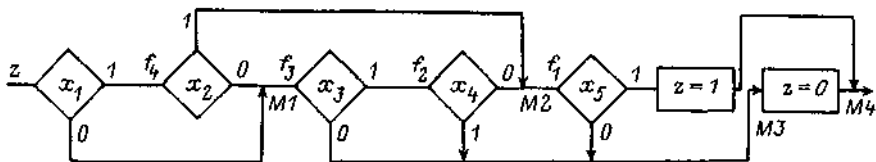


Рис. 15.2

ность реализации произвольной формулы в указанном базисе определяется неравенством

$$h + 1 \leq K \leq 2h + 3.$$

Из приведенных соотношений следует, что строить бинарные программы вместо операторных целесообразно для реализации инвариантных формул с числом инверсий больше четырех, так как для этого класса булевых формул такие программы более компактны.

Так как бинарные программы реализуются «на переходах», то в них в отличие от операторных программ запоминать промежуточные результаты не требуется при любых значениях  $h$ . Порядок записи формулы, не влияя на сложность реализации и объем памяти, определяет среднее быстродействие программы. Для БПФ максимальное быстродействие обеспечивается при их записи в порядке убывания весов. Так, например, программа, построенная по формуле  $z = x_1 \vee x_2 \& x_3$ , обладает более высоким средним быстродействием по сравнению с программой для формулы  $z = x_2 \& x_3 \vee x_1$ .

Метод построения граф-схемы, обеспечивающий максимальное среднее быстродействие бинарной программы, реализующей произвольную булеву формулу в указанном базисе, изложен в [88, 273]. Метод состоит в выборе порядка записи формулы, при котором минимизируется число всех путей от входа граф-схемы до ее операторных вершин. Так, например, если граф-схема для булевой формулы

$$z = (x_1 \& x_2 \& x_3 \vee (x_4 \vee x_5) \& x_6) \& (x_7 \& x_8 \vee x_9 \& x_{10}) \vee x_{11} \& x_{12}$$

содержит 132 пути, то их минимальное число, равное 69, достигается для формулы [273]

$$z = x_{11} \& x_{12} \vee (x_6 \& (x_4 \vee x_5) \vee x_1 \& x_2 \& x_3) \& (x_7 \& x_8 \vee x_9 \& x_{10}).$$

Приведем оценки числа путей при реализации произвольной булевой формулы в базисе И, ИЛИ, НЕ из  $h$  букв линейной бинарной граф-схемой [272].

$$h + 1 \leq S(h) \leq F_{h+2},$$

$$h + 1 \leq S(h) \leq \begin{cases} 2^{1+(h/2)}, & \text{если } h = 2, 4, 6, \dots, 16; \\ 0.5(3^{1+(h/3)} - 1), & \text{если } \text{mod}_3 h = 0 \text{ и } h \neq 6, 12; \\ 3^{(h+1)/3}, & \text{если } \text{mod}_3 h = 2 \text{ и } h \neq 2, 8, 14; \\ 2 \times 3^{(h-1)/3} + 1, & \text{если } \text{mod}_3 h = 1 \text{ и } h \neq 4, 10, 16. \end{cases}$$

Изложенный подход не может быть использован при программировании на языке инструкций ALPro, так как в нем в отличие от рассматриваемого языка ограничены возможности условных переходов, что не позволяет реализовывать неструктурированные граф-схемы непосредственно.

Рассмотренный метод, однако, является наиболее эффективным для микропроцессоров и ЦВМ, в системе команд которых отсутствуют операции для работы с битами, так как позволяет не перемещать биты внутри слова, а также между словами.

В качестве примера рассмотрим реализацию булевой формулы программой на языке ассемблер ЦВМ PDP-11 фирмы «DEC» (США). Пусть задана БФ

$$z = (x_1 \& x_2 \vee x_3 \& \bar{x}_4) \& x_5$$

а переменные  $x_1, x_2, x_3$  размещены в 14-, 6- и 3-м разрядах первого слова, переменные  $x_4$  и  $x_5$  — в 5- и 2-м разрядах второго слова. Для написания программы непосредственно по формуле строится линейная граф-схема (рис. 15.2) и определяются маски, записанные в восьмеричной системе, для выделения отдельных битов из слов: 040000, 000100, 000010, 000040, 000004. Программа, реализующая полученную граф-схему, имеет следующий вид:

```

START: BIT #040000, POLE1
      BEQ M1
      BIT #000100, POLE1
      BNE M2
      M1: BIT #000010, POLE1
      BEQ M3
      BIT #000040, POLE2
      BNE M3
      M2: BIT #000004, POLE2
      BEQ M3
      MOV #1, z
      BR M4
      M3: CLR z
      M4: .END START

```



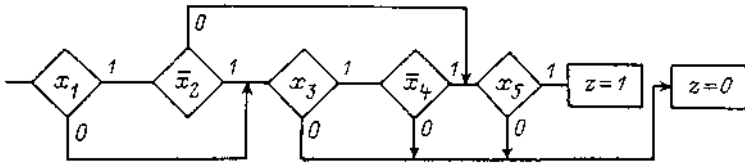


Рис. 15.3

Пусть, например

$$\text{POLE1} = 1 \ 101 \ 110 \ 110 \ 011 \ 011 = 156633.$$

$$\text{POLE2} = 0 \ 011 \ 011 \ 101 \ 000 \ 111 = 033507.$$

При этом  $x_1 = 1$ ,  $x_2 = 0$ ,  $x_3 = 1$ ,  $x_4 = 0$ ,  $x_5 = 1$  и программа формирует  $z = 1$ .

Оценки сложности программы для этого языка совпадают с оценками, полученными выше для контроллера 8051.

В заключение раздела изложим метод построения по булевой формуле логической схемы алгоритма (ЛСА), являющейся строчной записью, состоящей из букв, соответствующих условиям и операторам, и исходящих и входящих стрелок, описывающих переходы.

Метод состоит из трех этапов. На первом из них по формуле строится линейная граф-схема (рис. 15.2). На втором — в случае необходимости осуществляется инвертирование пометок условных вершин с целью получения в остове этой граф-схемы только единичных пометок дуг, исходящих из условных вершин (рис. 15.3). Этот этап необходим в связи с тем, что в логической схеме алгоритмов при выполнении условия осуществляется переход к следующей букве и по стрелке — в противном случае. На третьем этапе по откорректированной линейной граф-схеме строится логическая схема алгоритма:

$$\begin{array}{ccccccc} & 1 & 2 & 1 & 3 & 3 & 2 & 3 & 3 \\ x_1 \uparrow & \bar{x}_2 \downarrow & x_3 \uparrow & \bar{x}_4 \downarrow & x_5 \uparrow & z \downarrow & \bar{z}. \end{array}$$

#### 15.1.4. Сравнение сложности реализации булевых формул программами в базисе алгоритмических языков низкого уровня

Из приведенных выше соотношений следует, что для реализации произвольных булевых формул в базисе И, ИЛИ, НЕ из  $h$  букв число команд не превышает следующих величин:

$2h + 3$  — для бинарных программ в рассмотренных языках ассемблер;

$2h$  — для операторных программ на языке инструкций ALPro и программ на языке инструкций ПЛК фирмы «Omron», использующих обратную польскую запись;

$\lceil 3h/2 \rceil$  — для лестничных программ на языке инструкций ПЛК фирмы «Omron».

Из приведенных соотношений следует, что изложенные подходы строят избыточные по отношению к величине  $h$  реализации.

Покажем, что может быть предложен такой подход, при котором произвольная булева формула в указанном базисе из  $h$  букв, содержащая

скобки произвольной глубины, реализуется с минимальной сложностью, с помощью  $h$  операторов.

Этот подход базируется на методе, впервые изложенном в [87]. Он состоит из двух этапов: построение по формуле линейной граф-схемы и запись по этой граф-схеме фрагментов формулы, а не подформул, как это делается обычно, например при использовании обратной польской записи.

Фрагменты формируются после условных вершин при просмотре граф-схемы справа налево. При этом считается, что  $j$ -я условная вершина с пометкой  $x_j$  реализует соотношение:

$$f_j = \bar{x}_i \& \varphi_0 \vee x_i \& \varphi_1,$$

где  $\varphi_0$  — фрагмент формулы, «подаваемый» в вершину через дугу с пометкой «0»;  $\varphi_1$  — фрагмент формулы, «подаваемый» в вершину через дугу с пометкой «1».

Приведем в качестве примера реализацию формулы

$$z = (x_1 \& x_2 \vee x_3 \& \bar{x}_4) \& x_5.$$

Линейная граф-схема, реализующая эту формулу, изображена на рис. 15.2. Читая эту граф-схему справа налево, получим следующую систему соотношений:

$$\begin{aligned} f_1 &= \bar{x}_5 \& 1 \vee x_5 \& 0 = x_5; \\ f_2 &= \bar{x}_4 \& f_1 \vee x_4 \& 0 = \bar{x}_4 \& x_5; \\ f_3 &= \bar{x}_3 \& 0 \vee x_3 \& f_2 = x_3 \& \bar{x}_4 \& x_5; \\ f_4 &= \bar{x}_2 \& f_3 \vee x_2 \& f_1 = (x_2 \vee x_3 \& \bar{x}_4) \& x_5; \\ z &= \bar{x}_1 \& f_4 \vee x_1 \& f_4 = (x_1 \& x_2 \vee x_3 \& \bar{x}_4) \& x_5. \end{aligned}$$

Из рассмотренного примера следует, что предлагаемый подход позволяет строить операторную программу, в которой на каждом шаге вводится и обрабатывается одна буква реализуемой формулы, несмотря на наличие в последней скобок произвольной глубины.

## 15.2. Программирование автоматов с памятью

### 15.2.1. Использование принудительного кодирования состояний

Рассмотрим в качестве примера реализацию  $R$ -триггера. Ниже приведены четыре программы, реализующие этот алгоритм, которые построены по граф-схемам, приведенным на рис. 13.38, 13.40, 13.41, 4.79 соответственно:

|              |              |              |              |
|--------------|--------------|--------------|--------------|
| M3: MOV C, z | M3: MOV C, z | M3: MOV C, R | M3: MOV C, S |
| JC M1        | JC M1        | JC M1        | JNC M1       |
| MOV C, R     | MOV C, S     | MOV C, S     | SETB z       |
| JC M1        | JNC M1       | JNC M1       | M1: MOV C, R |
| MOV C, S     | SETB z       | SETB z       | JNC M2       |

|     |      |      |          |      |          |      |          |    |
|-----|------|------|----------|------|----------|------|----------|----|
|     | JNC  | M1   | M1: MOV  | C, z | M1: MO   | C, R | CLR      | z  |
|     | SETB | z    | JNC      | M2   | JNC      | M2   | M2: SJMP | M3 |
| M1: | MOV  | C, z | MOV      | C, R | CLR      | z    |          |    |
|     | JNC  | M2   | JNC      | M2   | M2: SJMP | M3   |          |    |
|     | MOV  | C, R | CLR      | z    |          |      |          |    |
|     | JNC  | M2   | M2: SJMP | M3   |          |      |          |    |
|     | CLR  | z    |          |      |          |      |          |    |
| M2: | SJMP | M3   |          |      |          |      |          |    |

Сложность программ 13;0, 11;0, 9;0, 7;0 соответственно.

Следующие четыре программы также реализуют *R*-триггер. Первая из них построена по графу переходов на рис. 4.15. В ней за счет применения универсального метода (переобозначение переменной *z*) обеспечена реализация не более одного перехода в этом графе за один программный цикл. Во второй программе переобозначение не применяется, так как в этом нет необходимости ввиду ортогональности пометок дуг в графе переходов. Эти программы во многом несут декларативный характер, так как в них фрагменты, соответствующие переходам, могут быть расположены в произвольном порядке. По этим программам граф переходов восстанавливается без дополнительных преобразований.

В третьей программе порядок расположения фрагментов не может быть изменен, так как фрагмент, расположенный ниже, обеспечивает приоритет сброса при  $R = S = 1$ . Изоморфный переход от текста программы к графу переходов приводит к некорректному графу, так как в нем по правилам его чтения при  $R = S = 1$  на выходе *z* происходит генерация.

Четвертая программа построена по булевой формуле, и переход от нее к графу переходов связан с выполнением математических преобразований.

Эти программы имеют следующий вид:

|          |       |          |       |          |      |         |       |
|----------|-------|----------|-------|----------|------|---------|-------|
| M3: CPL  | z     | M3: CPL  | z     | M3: CLR  | z    | M1: MOV | C, S  |
| MOV      | C, z  | MOV      | C, z  | MOV      | C, z | ORL     | C, z  |
| ANL      | C, /R | ANL      | C, /R | ANL      | C, S | ANL     | C, /R |
| ANL      | C, S  | ANL      | C, S  | JNC      | M1   | MOV     | z, C  |
| JNC      | M1    | JNC      | M1    | SETB     | z    | SJMP    | M1    |
| SETB     | z1    | SETB     | z     | M1: MOV  | C, z |         |       |
| M1: MOV  | C, z  | M1: MOV  | C, z  | ANL      | C, R |         |       |
| ANL      | C, R  | ANL      | C, z  | JNC      | M2   |         |       |
| JNC      | M2    | JNC      | M2    | CLR      | z    |         |       |
| CLR      | z1    | CLR      | z     | M2: SJMP | M3   |         |       |
| MOV      | C, z1 | M3: SJMP | M3    |          |      |         |       |
| MOV      | z, C  |          |       |          |      |         |       |
| M2: SJMP | M3    |          |       |          |      |         |       |

Сложность программ 13;1, 11;0, 10;0, 5;0 соответственно.

Исходя из изложенного, в дальнейшем будем рассматривать только такие программы, которые строятся по графам переходов. Реализуем граф переходов (рис. 14.12) с помощью четырех программ:

|         |        |         |        |         |        |         |        |
|---------|--------|---------|--------|---------|--------|---------|--------|
| M5: CPL | z1     | M5: CPL | z1     | M5: CPL | z1     | M5: CPL | z1     |
| MOV     | C, z1  | MOV     | C, z1  | MOV     | C, z1  | MOV     | C, z1  |
| ANL     | C, /z2 | ANL     | C, /z2 | ANL     | C, /z2 | ANL     | C, /z2 |
| ANL     | C, x2  | ANL     | C, x2  | JNC     | M1     | JNC     | M1     |
| JNC     | M1     | JNC     | M1     | MOV     | C, x1  | MOV     | C, x1  |
| SETB    | z1     | SETB    | z1     | JNC     | M2     | ANL     | C, /x2 |
| CLR     | z2     | M1: CPL | z1     | CPL     | z1     | JNC     | M2     |

|               |    |               |               |               |               |               |    |
|---------------|----|---------------|---------------|---------------|---------------|---------------|----|
| M1: CPL       | z1 | MOV C, z1     | SETB          | z2            | SETB          | z2            |    |
| MOV C, z1     |    | ANL C, /z2    | M2: MOV C, x2 |               | M2: MOV C, x2 |               |    |
| ANL C, /z2    |    | ANL C, x1     | JNC           | M1            | JNC           | M1            |    |
| ANL C, x1     |    | ANL C, /x2    | SETB          | z1            | SETB          | z1            |    |
| JNC           | M2 | JNC           | M2            | CPL           | z2            | M1: MOV C, z2 |    |
| CLR           | z1 | SETB          | z2            | M1: MOV C, z2 |               | ANL C, x4     |    |
| SETB          | z2 | M2: MOV C, z2 |               | ANL C, /z1    |               | JNC           | M3 |
| M2: MOV C, z2 |    | ANL C, x4     |               | ANL C, x4     |               | CLR           | z2 |
| ANL C, /z1    |    | JNC           | M3            | JNC           | M3            | M3: MOV C, z1 |    |
| ANL C, x4     |    | CLR           | z2            | CLR           | z1            | ANL C, x3     |    |
| JNC           | M3 | M3: MOV C, z1 |               | CLR           | z2            | JNC           | M4 |
| CLR           | z1 | ANL C, x3     |               | M3: MOV C, z1 |               | CLR           | z1 |
| CLR           | z2 | JNC           | M4            | ANL C, /z2    |               | M4: SJMP      | M5 |
| M3: MOV C, z1 |    | CLR           | z1            | ANL C, x3     |               |               |    |
| ANL C, /z2    |    | M4: SJMP      | M5            | JNC           | M4            |               |    |
| ANL C, x3     |    |               |               | CLR           | z1            |               |    |
| JNC           | M4 |               |               | CLR           | z2            |               |    |
| CLR           | z1 |               |               | M4: SJMP      | M5            |               |    |
| CLR           | z2 |               |               |               |               |               |    |
| M4: SJMP      | M5 |               |               |               |               |               |    |

Сложность программ 27,0; 22,0; 25,0; 20,0 соответственно.

Первая и вторая программы реализованы по переходам, а третья и четвертая — по вершинам графа переходов. В первой и третьей программах используются полные коды и не применяются умолчания, а во второй и четвертой — неполные коды и умолчания. Наличие умолчаний потребовало ортогонализации пометок дуг, исходящих из нулевой вершины, в то время как при отсутствии умолчаний достаточно использовать приоритеты.

### 15.2.2. Применение принудительно-свободного кодирования

Ниже приводятся три программы, построенные по графу переходов (рис. 13.22) счетного триггера:

|              |    |              |              |    |
|--------------|----|--------------|--------------|----|
| M5: CPL      | z  | M5: MOV C, x | M1: MOV C, z |    |
| MOV C, z     |    | ANL C, /y    | ANL C, /x    |    |
| ANL C, /y    |    | JNC          | M1           |    |
| ANL C, x     |    | SETB         | z            |    |
| JNC          | M1 | M1: MOV C, z | MOV y, C     |    |
| SETB         | z  | ANL C, /x    | MOV C, x     |    |
| M1: MOV C, z |    | JNC          | M2           |    |
| ANL C, /y    |    | SETB         | y            |    |
| ANL C, /x    |    | M2: MOV C, y | ANL C, y     |    |
| JNC          | M2 | ANL C, x     | ORL C, y     |    |
| SETB         | y  | JNC          | M3           |    |
| M2: MOV C, z |    | CLR          | z            |    |
| ANL C, y     |    | M3: CPL      | z            |    |
| ANL C, x     |    | MOV C, z     | MOV z, C     |    |
| JNC          | M3 | ANL C, /x    | SJMP         | M1 |
| CLR          | z  | JNC          | M4           |    |
| M3: MOV C, y |    | CLR          | y            |    |
| ANL C, /z    |    | M4: SJMP     | M5           |    |
| ANL C, /x    |    |              |              |    |
| JNC          | M4 |              |              |    |

```

      CLR      z
M4 : SJMP    M5

```

Сложность программ 22; 1; 18;1; 14;3 соответственно.

Первая из них построена по переходам графа переходов, во второй каждый переход определяется только одной переменной кода состояния и значением входной переменной, а третья построена по СБФ, найденной по ГП. Граф переходов легко восстанавливается только по тексту первой программы.

### 15.2.3. Применение двоичного и многозначного кодирования

Если все рассмотренные программы были построены в предположении, что в начале все переменные, кодирующие состояния, обнулены, то при двоичном кодировании в исходном состоянии  $Y_0 = 1$ .

Ниже приведены две программы, реализующие ГП автомата Мура (рис. 13.30, 4.124) при двоичном и многозначном кодировании состояний:

```

      SETB     Y0
M5 : MOV C,  Y0
      JNC     M1
      CLR     z1
      CLR     z2
      MOV C,  x1
      JNC     M2
      ANL C,  /x2
      JNC     M2
      CLR     Y0
      SETB     Y1
M2 : MOV C,  x2
      JNC     M1
      CLR     Y0
      SETB     Y2
M1 : MOV C,  Y1
      JNC     M3
      SETB     z2
      MOV C,  x4
      JNC     M3
      CLR     Y1
      SETB     Y0
M3 : MOV C,  Y2
      JNC     M4
      SENB    z1
      MOV C,  x3
      JNC     M4
      CLR     Y2
      SETB     Y0
M4 : SJMP    M5

      M5 : CJNE RO, 0, M1
      CLR     z1
      CLR     z2
      MOV     C,  x1
      JNC     M2
      MOV     R1, #1
M2 : MOV     C,  x2
      JNC     M1
      MOV     R1, #2
M1 : CJNE RO, 1, M3
      CLR     z1
      SETB    z2
      MOV     C,  x4
      JNC     M3
      MOV     R1, #0
M3 : CJNE RO, 2, M4
      SETB    z1
      CLR     z2
      MOV     C,  x3
      JNC     M4
      MOV     R1, #0
M4 : MOV     A,  R1
      MOV     RO, A
      SJMP    M5

```

Сложность программ 29;3;0, 24;0;2 соответственно.

В последней программе используются новые команды, обеспечивающие работу с регистровыми переменными, причем команда CJNE Ri, N, Mj реализует переход на метку Mj, если содержимое регистра Ri не равно константе N, и переход к следующей команде — в противном

случае. В этой программе для кодирования состояний может применяться только одна регистровая переменная R0. При этом вторая переменная этого типа (R1) используется для обеспечения не более одного перехода за программный цикл.

### 15.3. Сравнение языков ALPro и ассемблер

В силу того что программируемый логический контроллер, реализующий программы, написанные на языке ALPro, построен на базе микропроцессора, программно совместимого с микроконтроллером «Intel 8051», то структуры аналогичных программ, реализованных на языках ALPro и ассемблер указанного типа, весьма близки.

В первом случае команды являются более «крупными», что обеспечивает построение более компактных текстов программ. Например, если ввод входной инверсной переменной  $x$  в этом ПЛК осуществляется одной командой `STR NI x`, то на рассматриваемом ассемблере для этой цели требуются две команды.

В команды ПЛК заложена семантика, позволяющая проще «читать» программу в традиционном понимании этого термина. Например, если в ПЛК ввод переменной обозначается `STR`, а вывод `EQ`, то в ассемблере оба этих действия реализуются командой `MOV`, а различие действий в этом случае обеспечивается порядком расположения операндов в команде.

В командах ПЛК в отличие от ассемблера в явном виде записывается только один операнд, что также увеличивает наглядность программ.

Структура условного перехода в ПЛК рассматриваемого типа, усложняя программирование, улучшает его дисциплину за счет исключения возвратов «назад» и ограничения по расстановке меток при движении по программе «вперед».

Из изложенного следует, что для целей управления применение языка ALPro более целесообразно, так как позволяет повысить надежность программирования.

Трудоемкость программирования на языке ассемблер (так же как и на языке ALPro) может быть снижена за счет использования транслятора «Язык СИ — ассемблер» и применения предлагаемой SWITCH-технологии для получения корректного и функционально проверенного текста программы на входе транслятора.